

文章编号:0253-9950(2010)04-0231-05

A_β 显像剂 2-苯基苯并噻唑衍生物的定量构效关系

王武尚¹,高 敏²,刘伯里³

1. 西北核技术研究所,陕西 西安 710024;2. 西安交通大学 理学院 应用化学系,陕西 西安 710049;

3. 北京师范大学 化学学院,北京 100875

摘要: ¹¹C 或 ¹²³I 标记的含有给电子基团的 2-苯基苯并噻唑衍生物一般具有较高的 A_β 斑块亲和性,是一类潜在的 A_β 显像剂。本工作以 A_β 亲和性参数 lg K_i 为因变量,一些通过 G98W 结构优化得到的分子结构参数为自变量,对 28 个 2-苯基苯并噻唑衍生物进行了定量构效关系研究,结果表明,A_β 亲和性与化合物的 lg P、V_m、lg V_m、H_e 和 E_{HOMO} 呈线性相关,其中脂溶性参数 lg P 是影响 A_β 亲和性的主要因素。

关键词: 阿尔茨海默病;A_β 斑块;显像剂;定量构效关系

中图分类号:R817.4 文献标志码:A

QSAR of 2-Arylbenzothiazole Derivatives for β-Amyloid Imaging

WANG Wu-shang¹, GAO Min², LIU Bo-li³

1. Northwest Institute of Nuclear Technology, Xi'an 710024, China;
2. Department of Applied Chemistry, Faculty of Science, Xi'an Jiaotong University, Xi'an 710049, China;
3. College of Chemistry, Beijing Normal University, Beijing 100875, China

Abstract: 2-arylbenzothiazole derivatives containing electron-donating group labeled with ¹¹C or ¹²³I generally displayed high binding affinity for β-amyloid (A_β) plaques, and were potential A_β imaging agents. In the article, A_β binding affinity parameter, lg K_i was used as dependent variable. Some molecule structure parameters obtained by structure optimization performed by Gaussian 98 for windows software were used as independent variable. The quantitative structure-activity relationship for twenty-eight 2-arylbenzothiazole derivatives as A_β imaging agents was studied. The results indicate that lg K_i is correlated linearly with lg P, V_m, lg V_m, H_e and E_{HOMO}. Among them, the lipophilicity parameter (lg P) is a main factor of affecting A_β binding affinity.

Key words: Alzheimer's disease; β-amyloid plaques; imaging agent; quantitative structure-activity relationship(QSAR)

阿尔茨海默病(Alzheimer's disease, AD)是最常见的老年性痴呆病。它是由于大脑细胞退化

而导致思维能力逐渐丧失的一种疾病。人类已经进入老龄化社会,随着老年人年龄的增长,AD 发病率急剧升高,因此,AD 的发病机理和早期无损伤诊断受到人们高度重视。脑中 A_β(β-amyloid)斑块的积聚是 AD 的病理特征之一^[1-2],所以,A_β斑块是 AD 病的一种生物标志物,对 AD 的早期诊断和病情监测而言,A_β 放射性显像剂具有潜在的应用价值^[3]。

刚果红、硫磺素 S 和硫磺素 T 是临床 AD 病理组织学尸检常用的荧光染料,可以作为药效基团进一步设计、筛选更好的 A_β 显像剂。文献报道的刚果红类显像剂有柯胺-G (Chrysamine-G)^[4]、X-34^[5]、[¹²⁵I]ISB 和 [¹²⁵I]IMSB^[6];硫磺素类显像剂有 [N-methyl-¹¹C]6-Me-BTA-1^[7], [N-methyl-(N-甲基)¹¹C]BTA-1^[8], [¹¹C]PIB^[9-11], [³-¹²⁵I-6-OH-BTA-0^[12], [¹²⁵I]TZDM^[6], [¹²⁵I]IBOX^[13] 等。其中 [¹¹C]PIB^[10-11] 已成功地应用于临床显像 AD 病人脑中的 A_β 斑块。在文献报道的各类 A_β 显像剂中,BTA (2-(4'-aminophenyl) benzothiazole, 2-(对氨基苯基)苯并噻唑)类似物具有很大的发展潜力。Wang 等^[14] 报道了一系列 BTA 类化合物对 A_β₁₋₄₀ 纤维的亲和性,并指出碘代化合物的亲和性与其脂溶性存在较强的相关性。优良的 A_β 显像剂必须具有很高的亲和性,亲和性是筛选 A_β 显像剂的必要指标之一。目前,有关 A_β 显像剂的文献主要集中在其生物特性研究方面,很少研究生物特性与分子结构之间的定量构效关系。因此,本工作拟以亲和性参数——抑制常数 (K_i) 为因变量,以分子结构参数为自变量进行定量构效关系 (quantitative structure-activity relationship, QSAR) 研究,以便指导开发更优异的 A_β 显像剂。

1 计算方法

采用 G98W 程序在 B3LYP 水平上对所选 A_β 显像剂的分子结构进行优化,N、O、S 原子采用 6-31G+* 基组,I 原子采用 Lanl2DZ 基组,其它原子采用 6-31G* 基组^[15]。从结构优化后的输出文件中得到参数:最高占据轨道能量 (E_{HOMO} , 1 a.u(原子单位) = 4.35981×10^{-18} J)、最低空轨道能量 (E_{LUMO} , a.u)、偶极距 (D_p , Deby);将 G98W 优化的结构输入 HyperChem 7.0 软件包^[16] 中计算出分子氢化能 (H_e)、分子体积 (V_m)。抑制常数 (K_i) 和脂溶性参数 ($\lg P$) 来自文献^[14]。

以 A_β 显像剂抑制常数的对数 $\lg K_i$ 为因变量,分子结构参数 $\lg P$ 、 V_m 、 H_e 、 D_p 、 E_{HOMO} 、 E_{LUMO} 为自变量进行多元线性回归分析,得到 A_β 显像剂生物活性与分子结构的定量构效关系。

2 结果和讨论

2.1 分子结构优化结果的可靠性

以文献^[14] 报道的 28 个 2-苯基苯并噻唑类衍生物为研究对象,采用 G98W 程序对其进行了分子结构优化,得到需要的分子结构参数。另外,制备了其中一个化合物 2-(3'-碘-4'-氨基苯基)苯并噻唑的晶体,利用单晶 X 衍射测定了其晶体结构^[17],表 1 和表 2 分别列出了 2-(3'-碘-4'-氨基苯基)苯并噻唑分子结构的键长和键角的测量值和计算值。从表中数据可知,计算值和测量值基本一致,说明分子结构优化的方法正确,优化结果可靠。

表 1 2-(3'-碘-4'-氨基苯基)苯并噻唑分子的键长

Table 1 Bond lengths of 2-(3'-iodo-4'-aminophenyl)benzothiazole

| 键长 (Bond lengths) | 测量值(Measured values)/nm | 计算值(Calculated values)/nm |
|----------------------|----------------------------|------------------------------|
| I(1)-C(2) | 0.210 0(4) | 0.214 8 |
| S(1)-C(8) | 0.173 5(5) | 0.175 2 |
| S(1)-C(7) | 0.175 2(4) | 0.179 0 |
| N(1)-C(7) | 0.129 4(5) | 0.130 1 |
| N(1)-C(13) | 0.139 5(6) | 0.138 3 |
| N(2)-C(1) | 0.136 2(5) | 0.138 5 |
| C(1)-C(6) | 0.140 1(6) | 0.141 3 |
| C(1)-C(2) | 0.140 9(6) | 0.140 8 |
| C(2)-C(3) | 0.136 2(5) | 0.138 9 |
| C(3)-C(4) | 0.139 4(5) | 0.140 3 |
| C(4)-C(5) | 0.140 0(6) | 0.140 8 |
| C(4)-C(7) | 0.146 5(6) | 0.146 4 |
| C(5)-C(6) | 0.134 6(6) | 0.138 2 |
| C(8)-C(9) | 0.139 2(6) | 0.139 6 |
| C(8)-C(13) | 0.139 7(6) | 0.141 7 |
| C(9)-C(10) | 0.135 7(6) | 0.139 4 |
| C(10)-C(11) | 0.138 2(7) | 0.140 6 |
| C(11)-C(12) | 0.137 0(7) | 0.139 0 |
| C(12)-C(13) | 0.139 8(6) | 0.140 3 |

表2 2-(3'-碘-4'-氨基苯基)苯并噻唑分子的键角

Table 2 Bond angles of

2-(3'-iodo-4'-aminophenyl)benzothiazole

| 键角 (Bond angles) | 测量值(Measured values)/ (°) | 计算值(Calculated values)/ (°) |
|---------------------|------------------------------|--------------------------------|
| C(8)-S(1)-C(7) | 89.5(2) | 88.8 |
| C(7)-N(1)-C(13) | 110.5(4) | 112.0 |
| C(1)-N(2)-H(2A) | 120.0 | 116.5 |
| C(1)-N(2)-H(2B) | 120.0 | 117.7 |
| H(2A)-N(2)-H(2B) | 120.0 | 113.9 |
| N(2)-C(1)-C(6) | 120.7(4) | 119.9 |
| N(2)-C(1)-C(2) | 123.6(4) | 123.2 |
| C(6)-C(1)-C(2) | 115.7(4) | 116.8 |
| C(3)-C(2)-C(1) | 121.9(4) | 121.7 |
| C(3)-C(2)-I(1) | 119.4(3) | 118.1 |
| C(1)-C(2)-I(1) | 118.7(3) | 120.2 |
| C(2)-C(3)-C(4) | 121.4(4) | 120.8 |
| C(2)-C(3)-H(3) | 119.3 | 119.0 |
| C(4)-C(3)-H(3) | 119.3 | 120.2 |
| C(3)-C(4)-C(5) | 116.7(4) | 118.1 |
| C(3)-C(4)-C(7) | 122.4(4) | 122.2 |
| C(5)-C(4)-C(7) | 120.9(4) | 119.7 |
| C(6)-C(5)-C(4) | 121.9(4) | 120.8 |
| C(6)-C(5)-H(5) | 119.1 | 120.4 |
| C(4)-C(5)-H(5) | 119.1 | 118.8 |
| C(5)-C(6)-C(1) | 122.3(4) | 121.8 |
| C(5)-C(6)-H(6) | 118.8 | 119.7 |
| C(1)-C(6)-H(6) | 118.8 | 118.5 |
| N(1)-C(7)-C(4) | 124.0(4) | 124.0 |
| N(1)-C(7)-S(1) | 115.6(3) | 114.6 |
| C(4)-C(7)-S(1) | 120.4(3) | 121.4 |
| C(9)-C(8)-C(13) | 121.6(4) | 121.5 |
| C(9)-C(8)-S(1) | 129.6(4) | 129.3 |
| C(13)-C(8)-S(1) | 108.8(3) | 109.1 |
| C(10)-C(9)-C(8) | 117.9(5) | 118.0 |
| C(10)-C(9)-H(9) | 121.1 | 120.8 |
| C(8)-C(9)-H(9) | 121.1 | 121.2 |
| C(9)-C(10)-C(11) | 121.7(5) | 121.0 |
| C(9)-C(10)-H(10) | 119.2 | 119.3 |
| C(11)-C(10)-H(10) | 119.2 | 119.7 |
| C(10)-C(11)-C(12) | 121.0(4) | 120.9 |
| C(12)-C(11)-H(11) | 119.5 | 119.6 |
| C(10)-C(11)-H(11) | 119.5 | 119.4 |
| C(11)-C(12)-C(13) | 118.9(5) | 119.0 |
| C(11)-C(12)-H(12) | 120.5 | 121.7 |
| C(13)-C(12)-H(12) | 120.5 | 119.3 |
| N(1)-C(13)-C(12) | 125.5(4) | 125.2 |
| N(1)-C(13)-C(8) | 115.7(4) | 115.4 |
| C(12)-C(13)-C(8) | 118.8(4) | 119.5 |

2.2 定量构效关系

优良的 A_β 显像剂必须具有高的初始脑摄取、高的 A_β 亲和性和低的非特异亲和性。A_β 亲和性是筛选 A_β 显像剂的重要指标之一。一般认为,含有给电子基团(-NH₂, -NHMe, -NMe₂, -OH, -OMe)并且有大共轭体系的化合物具有高的 A_β 亲和性,但一些类似的化合物 A_β 亲和性较低。对文献[14]报道的 28 个 2-苯基苯并噻唑类 A_β 显像剂进行定量构效关系研究。2-苯基苯并噻唑衍生物的分子结构示于图 1。生物特性参数和分子结构参数列于表 3。

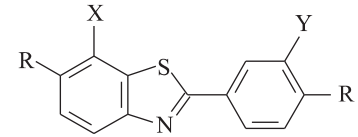


图1 2-苯基苯并噻唑衍生物的分子结构

Fig. 1 General structure of 2-arylbenzothiazole derivatives

Wang 等^[14]定性得出:4'-位有氨基或甲氨基的 2-苯基苯并噻唑类化合物在其氨基或甲氨基的邻位引入碘原子,可提高其 A_β 亲和性,并且其 A_β 亲和性随脂溶性的增大而提高。利用其文献数据,以 lg K_i 为因变量、lg P 为自变量进行线性回归分析,得到定量构效关系如下:

$$\lg K_i = 1.843 - 0.382 \lg P \quad (1)$$

$$(n = 28, r = 0.782, s = 0.3252,$$

$$F_{1,26} = 40.869, \text{Sig} = 0.000)$$

以 lg K_i 为因变量,lg P, V_m, H_e, D_p, E_{HOMO}, E_{LUMO} 为自变量进行多元线性回归,采用逐个剔除、逐步回归等方法建立多元线性回归方程如下:

$$\lg K_i = 163.593 - 0.790 \lg P + 0.0391 V_m -$$

$$67.357 \lg V_m + 0.0975 H_e - 25.460 E_{HOMO} \quad (2)$$

$$(n = 28, r = 0.861, s = 0.2880,$$

$$F_{4,23} = 12.654, \text{Sig} = 0.000)$$

对回归方程的检验包括:方差分析(统计量 F 检验)、偏回归系数的显著性检验(统计量 t 检验)和相关系数 r。回归方程中各参数的物理意义如下:n, 参与回归的化合物的数量;r, 相关系数;s, 标准偏差;F_{df1, df2}, 回归自由度 df1 和剩余自由度 df2 下的 F 值, df1 等于方程中的变量数, df2=n-df1-1;Sig, F 检验的显著性水平;自变量剔除标准为 Sig<0.05 时自变量保留, Sig>0.1 时则自变量剔除。

表 3 2-苯基苯并噻唑衍生物定量构效关系研究用参数数据

Table 3 Data of parameters of 2-arylbenzothiazole derivatives used in the QSAR analysis

| No. | R | R' | X | Y | $10^9 K_i / (\text{mol} \cdot \text{L}^{-1})$ | $\lg [K_i / (\text{mol} \cdot \text{L}^{-1})]$ | $\lg P$ | $10^3 V_m / \text{nm}^3$ | $H_e / 4.18 \text{ (kJ} \cdot \text{mol}^{-1})$ | D_p / Deby | $E_{\text{HOMO}} / \text{a.u}$ | $E_{\text{LUMO}} / \text{a.u}$ |
|-----|-----------------------------------|-----------------|---|---|---|--|---------|--------------------------|---|---------------------|--------------------------------|--------------------------------|
| 1 | H | NH ₂ | H | H | 36.8 | 1.566 | 1.98 | 671.24 | -14.560 | 2.7620 | -0.20144 | -0.04936 |
| 2 | H | NHMe | H | H | 11.5 | 1.061 | 2.69 | 723.17 | -12.060 | 3.4071 | -0.19482 | -0.04668 |
| 3 | OH | NH ₂ | H | H | 45.6 | 1.659 | 0.66 | 692.19 | -22.510 | 3.5916 | -0.19615 | -0.04706 |
| 4 | OH | NHMe | H | H | 4.3 | 0.633 | 1.23 | 744.39 | -20.020 | 4.1958 | -0.19071 | -0.04442 |
| 5 | NO ₂ | NH ₂ | H | H | 17.4 | 1.241 | 2.21 | 728.97 | -20.550 | 9.9391 | -0.22008 | -0.10032 |
| 6 | NO ₂ | NHMe | H | H | 2.75 | 0.439 | 2.96 | 781.63 | -18.080 | 10.9736 | -0.21201 | -0.09813 |
| 7 | Br | NH ₂ | H | H | 7.22 | 0.859 | 2.87 | 733.61 | -15.410 | 4.8263 | -0.20554 | -0.05708 |
| 8 | Br | NHMe | H | H | 1.69 | 0.228 | 3.64 | 785.67 | -12.920 | 5.6249 | -0.19895 | -0.05434 |
| 9 | OMe | NH ₂ | H | H | 7.0 | 0.845 | 1.87 | 747.32 | -16.730 | 1.8399 | -0.19372 | -0.04542 |
| 10 | OMe | NHMe | H | H | 4.9 | 0.690 | 2.58 | 799.21 | -14.220 | 2.0699 | -0.18744 | -0.04183 |
| 11 | OCH ₂ OCH ₃ | NH ₂ | H | H | 53.6 | 1.729 | 1.86 | 830.66 | -17.440 | 2.6246 | -0.19578 | -0.04712 |
| 12 | COOCH ₃ | NH ₂ | H | H | 17.9 | 1.253 | 2.07 | 804.99 | -18.790 | 4.3772 | -0.20877 | -0.06753 |
| 13 | H | NH ₂ | H | I | 8.32 | 0.920 | 3.17 | 749.07 | -14.790 | 1.7670 | -0.20835 | -0.05635 |
| 14 | H | NHMe | H | I | 4.94 | 0.694 | 3.90 | 801.22 | -12.520 | 1.7080 | -0.21417 | -0.06275 |
| 15 | OH | NH ₂ | H | I | 11.1 | 1.045 | 1.65 | 770.38 | -22.740 | 1.9730 | -0.20260 | -0.05411 |
| 16 | OH | NHMe | H | I | 3.22 | 0.508 | 2.35 | 822.53 | -20.450 | 1.2344 | -0.20814 | -0.06066 |
| 17 | NO ₂ | NH ₂ | H | I | 4.6 | 0.663 | 3.33 | 806.75 | -20.800 | 8.9783 | -0.22597 | -0.10410 |
| 18 | NO ₂ | NHMe | H | I | 1.0 | 0.000 | 4.08 | 858.82 | -18.560 | 8.1029 | -0.22984 | -0.10715 |
| 19 | Br | NH ₂ | H | I | 0.67 | -0.174 | 4.11 | 811.15 | -15.650 | 3.8553 | -0.21193 | -0.06366 |
| 20 | Br | NHMe | H | I | 1.6 | 0.204 | 4.86 | 863.00 | -13.380 | 3.2198 | -0.21721 | -0.06966 |
| 21 | OMe | NH ₂ | H | I | 4.4 | 0.643 | 3.08 | 825.54 | -16.960 | 2.2516 | -0.19991 | -0.05241 |
| 22 | OMe | NHMe | H | I | 1.93 | 0.286 | 3.80 | 877.50 | -14.670 | 2.9587 | -0.20516 | -0.05890 |
| 23 | OCH ₂ OCH ₃ | NH ₂ | H | I | 15.1 | 1.179 | 3.03 | 908.92 | -17.670 | 3.4332 | -0.20194 | -0.05396 |
| 24 | COOCH ₃ | NH ₂ | H | I | 3.34 | 0.524 | 3.29 | 882.68 | -19.040 | 3.9915 | -0.21516 | -0.07296 |
| 25 | NH ₂ | OH | H | H | 52.8 | 1.723 | 0.70 | 693.02 | -22.490 | 1.8013 | -0.19451 | -0.04807 |
| 26 | NH ₂ | OH | I | H | 26.3 | 1.420 | 1.60 | 765.65 | -22.710 | 2.1990 | -0.20020 | -0.05316 |
| 27 | NH ₂ | OMe | H | H | 6.9 | 0.839 | 1.76 | 748.72 | -16.690 | 1.3358 | -0.19233 | -0.04607 |
| 28 | NH ₂ | OMe | I | H | 3.6 | 0.556 | 2.95 | 821.10 | -16.890 | 2.0913 | -0.19793 | -0.05116 |

通过统计量 F 检验和 t 检验, 方程(1)和方程(2)都具有统计学意义。定量构效关系研究表明, $\lg K_i$ 与 $\lg P$ 呈负相关, 即化合物的脂溶性越大, 其抑制常数越小, A_β 亲和性就越大。方程(1)的相关系数为 0.782, 方程(2)的相关系数为 0.861, 说明脂溶性是影响 2-苯基苯并噻唑衍生物 A_β 亲和性的主要因素, 另外, V_m 、 H_e 、 E_{HOMO} 等分子结构参数也对 A_β 亲和性有影响, 所以方程(2)的相关性比方程(1)明显提高。

根据方程(2)计算得到 28 个 2-苯基苯并噻唑

衍生物的 $\lg K_i$ 值与其 $\lg K_i$ 实验值的关系示于图 2。由图 2 可知, 计算值与实验值基本吻合, 说明得到的定量构效关系可靠, 可用于对 2-苯基苯并噻唑衍生物 A_β 亲和性进行预测。

3 结论

¹¹C 或 ¹²³I 标记的含有给电子基团的 2-苯基苯并噻唑衍生物是一类潜在的 A_β 显像剂。本工作对其定量构效关系进行了研究, 结果表明, A_β 亲和性与化合物的 $\lg P$ 、 V_m 、 $\lg V_m$ 、 H_e 和 E_{HOMO}

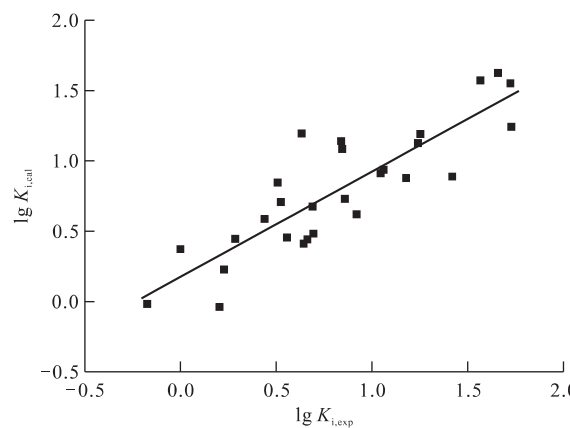


图2 方程(2)的计算值与实验值的比较

Fig. 2 Comparison of experimental $\lg K_{i,\text{exp}}$ with calculated $\lg K_{i,\text{cal}}$ obtained from equation (2)

呈线性相关,其中脂溶性参数 $\lg P$ 是影响 A_β 亲和性的主要因素。得到的定量构效关系可用于对新的类似化合物的 A_β 亲和性的预测。

参考文献:

- [1] Hardy J, Selkoe D J. The Amyloid Hypothesis of Alzheimer's Disease: Progress and Problems on the Road to Therapeutics[J]. Science, 2002, 295: 353-356.
- [2] Selkoe D J. Imaging Alzheimer's Amyloid[J]. Nature Biotechnology, 2000, 18(7): 823-824.
- [3] Zamrini E, Santi S D, Tolar M. Imaging is Superior to Cognitive Testing for Early Diagnosis of Alzheimer's Disease[J]. Neurobiol Aging, 2004, 25: 685-691.
- [4] Klunk W E, Debnath M L, Pettegrew J W, Chrysamine G Binding to Alzheimer and Control Brain: Autopsy Study of a New Amyloid Probe[J]. Neurobiol Aging, 1995, 16: 541-548.
- [5] Styren S D, Hamilton R L, Styren G C, et al. X-34, A Fluorescent Derivative of Congo Red: A Novel Histochemical Stain for Alzheimer's Disease Pathology[J]. J Histochem Cytochem, 2000, 48: 1 223-1 232.
- [6] Zhuang Z P, Kung M P, Hou C, et al. Radioiodinated Styrylbenzenes and Thioflavins as Probes for Amyloid Aggregates[J]. J Med Chem, 2001, 44 (12): 1 905-1 914.
- [7] Klunk W E, Wang Y, Huang G F, et al. Uncharged Thioflavin-T Derivatives Bind to Amyloid-Beta Protein With High Affinity and Readily Enter the Brain[J]. Life Sci, 2001, 69: 1 471-1 484.
- [8] Mathis C A, Bacskai B J, Kajdasz S T, et al. A Lipophilic Thioflavin-T Derivative for Positron Emission Tomography (PET) Imaging of Amyloid in Brain[J]. Bioorg Med Chem Lett, 2002, 12: 295-298.
- [9] Engler H, Nordberg A, Blomquist G, et al. First Human Study With a Benzothiazole Amyloid-Imaging Agent in Alzheimer's Disease and Control Subjects (Abstract)[J]. Neurobiol Aging, 2002, 23 (1): S429.
- [10] Klunk W E, Engler H, Nordberg A, et al. Imaging Brain Amyloid in Alzheimer's Disease With Pittsburgh Compound-B[J]. Ann Neurol, 2004, 55: 306-319.
- [11] Mathis C A, Wang Y, Klunk W E. Imaging β-Amyloid Plaques and Neurofibrillary Tangles in the Aging Human Brain[J]. Curr Pharm Des, 2004, 10: 1 469-1 492.
- [12] Wang Y, Klunk W E, Huang G F, et al. Synthesis and Evaluation of 2-(3'-Iodo-4'-Aminophenyl)-6-Hydroxybenzothiazole for in Vivo Quantitation of Amyloid Deposites in Alzheimer's Disease[J]. J Mol Neurosci, 2002, 19: 11-16.
- [13] Zhuang Z P, Kung M P, Hou C, et al. IBOX (2-(4-Dimethylaminophenyl)-6-Iodobenzoxazole): A Ligand for Imaging Amyloid Plaques in the Brain[J]. Nucl Med Biol, 2001, 28: 887-894.
- [14] Wang Y, Mathis C A, Huang G F, et al. Effects of Lipophilicity on the Affinity and Nonspecific Binding of Iodinated Benzothiazole Derivatives[J]. J Mol Neurosci, 2003, 20(3): 255-260.
- [15] Frisch M J, Trucks G W, Schlegel H B, et al. Gaussian 98, Revision A. 6[M]. Gaussian, Inc., Pittsburgh PA, 1998.
- [16] HyperChem 7.0 Evaluation Release for Windows[M]. Hypercube, Inc., 2002.
- [17] 王武尚, 刘伯里, 高敏. $^{3'}\text{-}^{125}\text{I}$ -BTA-0 的直接标记法及其晶体结构[J]. 核化学与放射化学, 2007, 29 (4): 238-243.